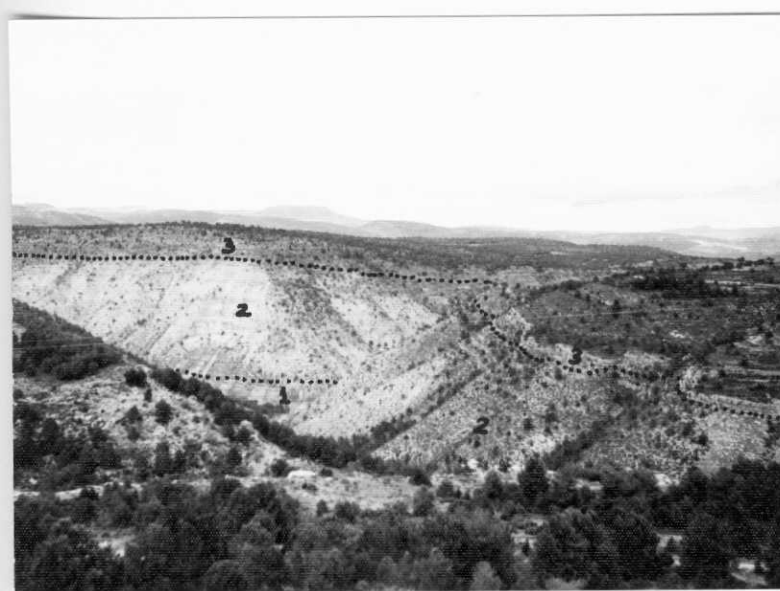




X  
↓  
Minas de azule  
de Libros.

Vista panorámica del valle de Riodeva excavado en los materiales detríticos del Cretacico Inferior (Formación Utrillas). Los crestones blanquecinos que coronan las laderas corresponden al Miocene margo—calcáreo. (AH 1085)



Vista panorámica del Bco. de Arroyo Cerezo donde se puede apreciar el gran desarrollo del Jurásico superior, con tres tramos del Malm bien diferenciados: (1) arcillas y margas arcillosas del Kimmeridgiense inferior, (2) ritmitas calcáreas y margocalcáreas del Kimmeridgiense medio y (3) calizas oolíticas y pisolíticas del Kimmeridgiense superior. (AH 1094)

Aspecto general de un afloramiento de calizas de edad Oxfordina en las proximidades de El Cuervo (Ramble de la Palomareja). (AH 1095)



Detalle de los ritmitas del Kimmeridgiense medio constituidas por capas de caliza micrítica con juntas de estratificación margo–arcillosas. (Ramble de la Palomareja, en las cercanías de El Cuervo). (AH 1096)





Detalle de la terminación norte del gran sinclinal de Vallanca, en las proximidades de la Cra Nal 420. De derecha a izquierda se observan: (1) calizas y margas del Cenomanense, (2) Arenas caoliníferas de la Formación Utrillas, (3) Calizas del Dogger, (4) margas y margocalizas del Toarcense y (5) calizas y dolomías del Lias. (AH 1097)

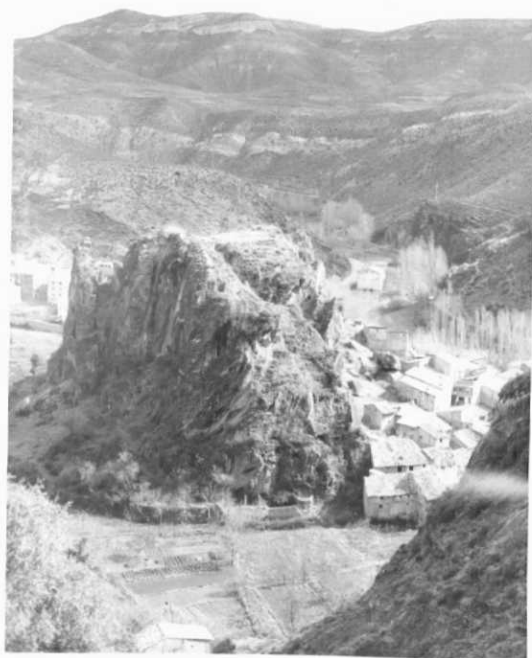
Aspecto general del Lias medio—superior con margas (1) muy fosilíferas y calizas en capas delgadas. (Cra de Salvacañete a Albarracín). (AH 1098).





Valle del Arroyo del Agua, al Norte de Salvacañete, ocupado en su fondo por margas yesíferas del Keuper (1) y en su ladera oriental por carniolas y dolomías del Lias (2). (AH 1099).

Pueblo de Libros, asentado en parte sobre un meandro abandonado del río Turia, y al cobijo de una intrusión diapírica de Keuper y Mschelkalk (en el centro de la fotografía); al fondo materiales continentales de las series Miocenas. (AH 1100)



Detalle de micropliegues en yesos masivos sacaroideos del Keuper. Las laminaciones oscuras debidas a la presencia de materia orgánica permiten apreciar la deformación de la masa. (AH 1101).





Detalle del cabalgamiento (líneas de trazos) de escamas de Muschelkalk (1) sobre los materiales margo yesíferos del Keuper (2), Fotografia tomada junto al pueblo de Libros, (AH 1103)

"Fucoides" sobre un bloque de caliza tableada del Muschelkalk, en las cercanías de Castielfabib. Este tipo de impresiones son muy frecuentes en los tramos medio a superior del Muschelkalk. (AH 1104)



Vista parcial de sector sur del valle del Rio Turia con su amplia vega formada por los aluviones cuaternarios del rio y laderas excavadas sobre sedimentos continentales miocenos. (AH 1086)





Pliegue en rodilla de Muschelkalk en las proximidades de Castielfabib. Vista tomada desde la zona alta del citado pueblo (AH 1105).



Vista panorámica del valle de Vallanca, con el pueblo al fondo; las laderas están constituidas por materiales del Cretácico (1) calizas cenomanienses y (2) arenas "Utrillas" que son recubiertos discordantemente por el Terciario (3). (AH 1106)



Aspecto general de la discordancia Cretácico—Mioceno en las proximidades de Vallanca. Los estratos con fuerte buzamiento observables, junto al borde de la carretera y sobre el pueblo corresponden al Cenomaniano (AH 1107).



Aspecto general de los tramos superiores de calizas del Dogger, al pie de la Ermita de S. Roque (Vallanca) (AH.1108)



Discordancia angular entre calizas y dolomías del Turoniense (1) y calizas margosas del Mioceno (2). (Cra local de Ademuz a Vallanca). (AH 1109)



Vista panorámica del valle del Rio Ebrón a la altura de Castielfabib. A la derecha de la fotografía se observan sedimentos cretácicos ((4) "Formación Utrillas" y (5) Cenomanense) transgresivos sobre el Keuper (1) y recubiertos todo el conjunto por los sedimentos detriticos continentales terciarios. En la zona central e izquierda de la fotografía aparecen afloramientos de Muschelkalk (2) cabalgando el Keuper y, finalmente, del Lias (3). (AH. 1110)



Vista de conjunto de la discordancia angular entre niveles plegados del Cretá-  
cico superior (Turoniano) (1) y el Terciario continental (2) subhorizontal, en  
las proximidades de Castielfabib. (AH 1111)



Niveles plegados del Muschelkalk en las proximidades de Cuesta del Rato (visible a la izquierda de la fotografía) (AH 1113).



Detalle de las calizas prisolíticas del Kimmeridgiense superior. Fotografia tomada en las cercanías de Hontanar (AH 1115).



Aspecto de conjunto de la mesa de los Tres Reinos, frente a Arroyo Cerezo. Este pueblo se asienta sobre materiales detriticos del Cretácino inferior y calizas del Malm. En las laderas de las mesas se aprecian zonas blancas correspondientes a arenas caoliníferas de Utrillas. (A 1116)



Panorámica desde Val de la Sabina de la Rambla del mismo nombre, establecida sobre materiales detrítico-evaporíticos de la cuenca terciaria de Ademuz-Teruel. (AH 1087)



Tobas travertimicas cuaternarias junto a la carretera de Salvacañete a El Cubillo. En segundo termino destaca su promontorio de calizas correspondientes al tramo basal de I Dogger (AH 1117).



Fotos 31 y 32.— Calizas pisolíticas del Aptiense en las cercanías de El Cubillo.  
Los pisolitos tienen hasta 3 cm de diámetro. (AH 1118 y AH 1119)

Fotos 31 y 32.— Calizas pisolíticas del Aptiense en las cercanías de El Cubillo.  
Los pisolítos tienen hasta 3 cm de diámetro. (AH 1118 y AH 1119)

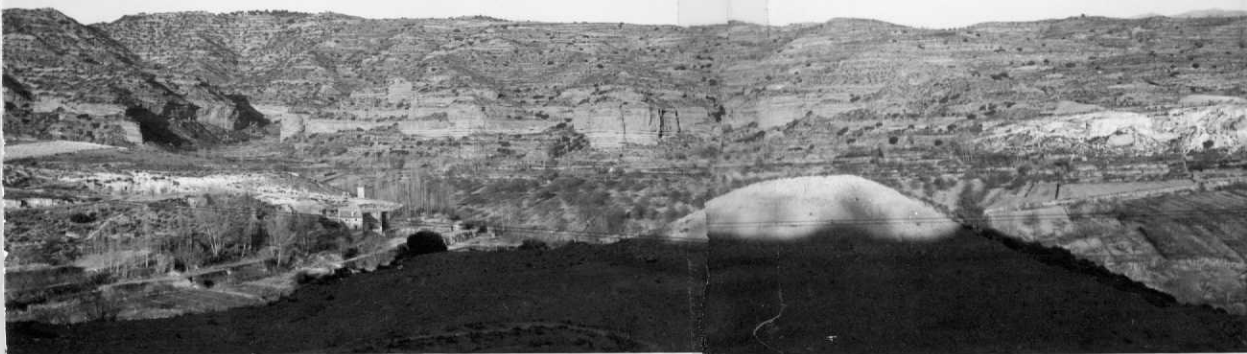




Detalle de los niveles de calizas arenosas biodetríticas, intercaladas entre arcillas y areniscas, correspondientes al transito Aptiense-Nealk. Carretera de El Cubillo a Alcalá de la Vega. (AH 1120)



Detalle del molde de un espongiario contenido en las calizas del Oxfordiense.  
Bco. del Camijarejo, próximo a Hontanar (AH 1121)



Aspecto de un sector de la depresión terciaria de Ademuz-Teruel comprendido entre las poblaciones de los Santos y Castielfabib. La serie detrítica constituida por conglomerados arcillas, areniscas y argilitas está subhorizontal. Las zonas claras situadas a derecha e izquierda de la fotografía corresponden a travertinos calcáreos de edad reciente. (AH 1088)



Vista parcial del borde oriental de la Hoja de Ademuz. En segundo término, culminando la ladera de un barranco, niveles de calizas cenomanienses sobre la Formación d'Utrillas; la llanura de materiales margos-calcáreos miocenos que ocupa el resto de la fotografía termina en las estribaciones de la S<sup>a</sup> de Camarena. (AH 1089)

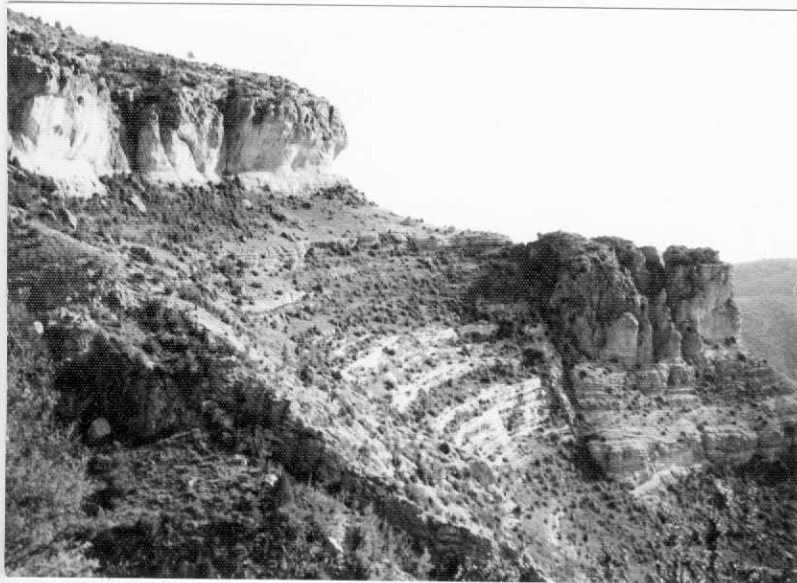
Discordancia angular entre calizas y dolomías del Turo-niense (1) y calizas margosas del Mioceno (2). (Cra local de Ademuz a Vallanca). (AH 1090)





Foto 7 y Foto 8.— Dolomias y calizas dolomíticas del Turoniente cuya erosión diferencial provoca morfologías muy características de "Tormos". (Peña del Buitre, en la Cra de Salvacañete a Albarracín). (AH 1091) y (AH 1092)

Foto 7 y Foto 8.— Dolomias y calizas dolomíticas del Turoniense cuya erosión diferencial provoca morfologías muy características de “Tormos”. (Peña del Buitre, en la Cra de Salvacañete a Albarracín). (AH 1091) y (AH 1092)



Bco. del Nogueral, en las proximidades de Vallanca establecido sobre materiales del Jurásico medio—superior en serie invertida (a la derecha calizas del Dogger, que entran en contacto mecánico con margas arcillosas del Kimmeridgiense inferior pasando, en la ladera de la izquierda de la fotografía a calizas y calizas margosas del Kimmeridgiense medio). (AH 1093).

